

II-27 円柱に働く波力について

東京工業大学 工学部 正員 吉川秀夫
琉球大学 理工学部 正員 河野二夫
前田建設 ○ 龍口健一

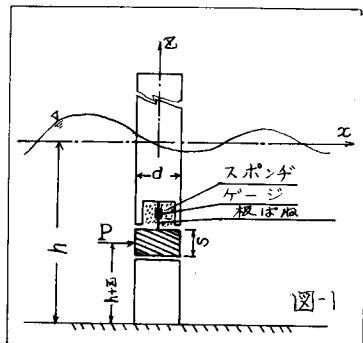
1. 概要

海中構造物に作用する波力に関する研究は、例えは Ippen の著書に見られるように、数多くなっている。しかしながら、充分に問題が解決しているとはいえない。たとえば、円柱に働く波力を考える場合は、~~速度抵抗~~ 加速度抵抗との和が全體の波力であるとして、質量係数や抗力係数を実験的に求めている。巣窟には、この2つの抵抗は複雑に組み合わされると考えられる。従って、基本的問題として、非定常流の中におかれた物体に作用する流体力を考える場合、質量力と抗力の單純な加之算を定義するのか妥当かと云つたことも考えられる。あるいは、これまでの研究では海底から水面までの円柱全體の波力に対し、平均的な質量係数や抗力係数を実験的に求めている。実際問題としては、鉛直方向の波力の分布なども必要になると思われる。

本論文は、図-1に示すように、波動の中に置かれた直円柱の微小な長さ(s)の部分に作用する波力についての実験を行ない、かつ質量係数や抗力係数を算定する場合に、G.H.Kenlegan and L.H.Carpenter が重複波の中の円柱(水路底に平行)の質量係数、抗力係数を求める時に用いた手法(流体力のFourier級数による表示)を応用したものである。また、静水中の直円柱と加速度運動(單振動)させ、その結果と波動による場合とを比較することによつて、波動中の円柱に作用する流体力の水面変動の影響やその他について実験的な考察を行なつたものである。

2. 実験内容

実験に用いた造波水路は長さ約20m、水路幅40cm、高さ60cmの三次元水路で、flutter type の造波板が取りつけある。実験に使用した円柱は直径(d)が6cmの塩化ビニール製品で、これと、図-1に示すように3箇に分割した。上部のものは水路上端で固定し、下端のものは水路底に固定し、真中の微小な長さ(s)の円柱と上部円柱の下端に燐青銅の板ばねで固定し、この円柱の波力によるたわみと、strain gage によってビデグラフに記録させるものである。



実験に使用した板ばねの固有振動数(水中)は 43.3 rad/sec , 83.7 rad/sec の2種類があり、水路水深は30, 40cmだけについて行なった。なお、図-1で、 $s = 4\text{cm}$, $d + Z = 20\text{cm}$ である。

3. 円柱に作用する波力の表示と質量係数および抗力係数

図-1に示した円柱の微小区間(s)に作用する波力を P とすれば、実用的には P は次式で示せると。

$$P = C_m \cdot \rho \cdot \frac{\pi d^2}{4} \cdot s \cdot \frac{\partial U}{\partial t} \pm C_d \cdot \rho \cdot d \cdot s \cdot \frac{U^2}{2} \quad (1)$$

式(1)で、 C_m , C_d は各々質量係数、抗力係数である。また ρ : 流体の密度、 U : 水粒子速度の水平方向の成分である。 x 軸の原点を考慮すれば、 U と $\frac{\partial U}{\partial t}$ は式(2)になる。

$$\left. \begin{aligned} U &= -\frac{H\omega}{2} \frac{\cosh \frac{2\pi}{L}(h+z)}{\sinh \frac{2\pi}{L}h} \sin \omega t \\ \frac{\partial U}{\partial t} &= -\frac{H\omega^2}{2} \frac{\cosh \frac{2\pi}{L}(h+z)}{\sinh \frac{2\pi}{L}h} \cos \omega t \end{aligned} \right\} \quad (2)$$

式(2)で, H : 波高, ω : 角速度, L : 波長, h : 水深, t : 時間を示す.

故に(2)式と(1)式に代入し, 無次元表示で流体力を示せば,

$$\frac{P}{P_0} = -C_r \cdot M_1 \cdot \cos \omega t \pm C_d \cdot M_2 \cdot \sin^2 \omega t \quad (3)$$

$$\left. \begin{aligned} \text{たゞし } P_0 &= \frac{1}{8} \rho \cdot d \cdot S \cdot H^2 \cdot \omega^2 \\ M_1 &= \frac{\pi d}{H} \frac{\cosh \frac{2\pi}{L}(h+z)}{\sinh \frac{2\pi}{L}h} \\ M_2 &= \left\{ \frac{\cosh \frac{2\pi}{L}(h+z)}{\sinh \frac{2\pi}{L}h} \right\}^2 \end{aligned} \right\} \quad (3')$$

なお, 式(2)の右辺の2項の正負は, $\sin \omega t \gtrless 0$ に対応する.

式(3)に対して, Fourier級数で表示すれば, 式(4)になる.

$$\left. \begin{aligned} \frac{P}{P_0} &= \sum_{n=1}^{\infty} (A_n \sin n \omega t + B_n \cos n \omega t) \\ A_n &= \frac{1}{\pi} \int_0^{2\pi} \frac{P}{P_0} \sin n \omega t \cdot d(\omega t) \\ B_n &= \frac{1}{\pi} \int_0^{2\pi} \frac{P}{P_0} \cos n \omega t \cdot d(\omega t) \end{aligned} \right\} \quad (4)$$

式(3)と式(4)の関係から, C_r , C_d を求めるのがあるが, 詳細は参考文献(2)に説明されてあるので, 本文では結果だけと示めると式(5)になる.

$$\left. \begin{aligned} C_r &= -\frac{B_1}{M_1} - \frac{B_3}{M_1} \frac{\cos 3 \omega t}{\cos \omega t} - \frac{B_5}{M_1} \frac{\cos 5 \omega t}{\cos \omega t} - \dots \\ C_d &= -\frac{A'_1}{M_2} - \frac{A'_3}{M_2} \frac{\sin 3 \omega t}{\pm \sin^2 \omega t} - \frac{A'_5}{M_2} \frac{\sin 5 \omega t}{\pm \sin^2 \omega t} - \dots \end{aligned} \right\} \quad (5)$$

$$\left. \begin{aligned} \text{たゞし, } A'_1 &= \frac{A_1}{a_1}, \quad A'_3 = A_3 - \frac{a_3}{a_1} A_1, \quad A'_5 = A_5 - \frac{a_5}{a_1} A_1, \dots \\ a_1 &= \frac{8}{3\pi}, \quad a_3 = -\frac{8}{15\pi}, \quad a_5 = \frac{8}{105\pi}, \quad \dots \end{aligned} \right\} \quad (6)$$

$A_1, B_1 ; A_2, B_2 ; \dots$ などは式(4)で, $n=1, 2, \dots$ などに対応する

また, レイノルズ数(Re)は動粘性係数と ν とする,

$$Re = \frac{dU}{\nu} = -\frac{dH\omega}{2\nu} \frac{\cosh \frac{2\pi}{L}(h+z)}{\sinh \frac{2\pi}{L}h} \cdot \sin \omega t \quad (7)$$

4. 波による質量係数と抗力係数

式(3)より、 $\omega t = 0, \frac{\pi}{2}, \pi, \frac{3}{2}\pi, \dots$ などの時刻における波力を実験により測定すれば、 C_M, C_D の値が、逆算によって求められる。このようにして求めた値を示したのが、図-2と図-3である。図-2の実験値の範囲は図-3の中に示してある。

図によると、質量係数はすべての波に対し、ほぼ一定と考えて良い。しかもこの値は、Potential flowとして計算出来る C_M の値 ($C_M = 2.0$) に近い値である。

つぎに C_D の測定値を示したものが、図-3である。図の中には、California 大学で行なった室内および現場での実測値も比較して示してある。

図によると、波動による抗力係数は定常流の場合の値と相当に異なっている。

この原因がどこにあるのか簡単には理解出来ないが、円柱の周りの流れの状況と、波動の場合と定常流の場合と比較しながら観測

すると、非常に異なるといふ。定常流の場合には剥離点がほとんど固定しているが、波動の場合にはこれが周期的に移動していることである。

故に Wake の状況も両者は非常に異なる。

このようなことが差異の大きい原因だと思われる。

つぎに、式(5)による値の一例を示したものが、図-4と図-5である。

図に示した測定値は波の1周期について、式(4)で $d(\omega t)$ を $\Delta(\omega t) = 0.05\pi$ として、数値積分し、式(5)により、1周期中の $\Delta(\omega t)$ 毎の C_D および C_M の値と、その時の Re 数の値 (式(7)による) との関係を示したものである。これら2図と、図-2, 3と比較すると大体一致する傾向にある。

5. 静止水中と加速度運動させた場合

図-6は、Carriage に固定された円柱を適当な吊りさまで水中に入れ、造波盤の回転板に連結した Carriage を單振動させることによって、円柱と静水中で加速度運動させようとするものである。

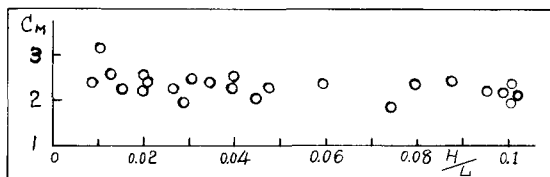


図-2: C_M と $\frac{H}{L}$ の関係 {式(3)による}

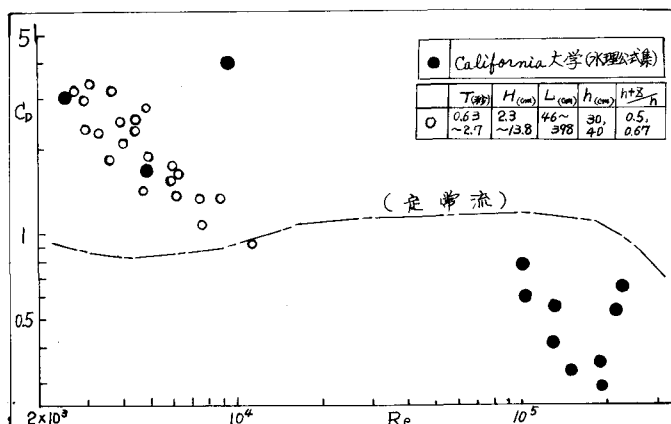


図-3: C_D と Re 数の関係 {式(3)による}

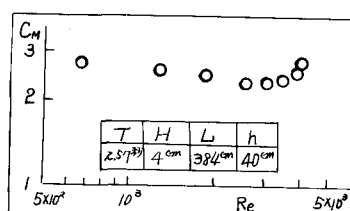


図-5: C_M と Re の関係

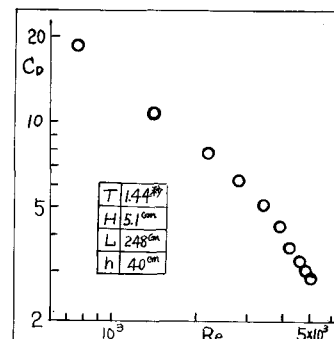


図-4: C_D と Re の関係

図-6(1)は Carriage; (2)(3)(4)は円柱と示す。円柱の構造は図-1と同じであるが、(1)(2)は円柱(2)がCarriage(1)に充分に固定され、円柱(4)は円柱(2)に充分固定されている。

また、Carriageは造波水路上端にしかれた軌道を移動し、かつ、移動速度は移動距離の0.5cm間隔毎に測定出来るようになっている。この実験の目的は、主として波形勾配の影響や加速度のconnection termの影響と調べるためにものである。

実験結果と図-7、図-8に示す。図の中の測

定値は式(5)の手法によるものである。なお、図中の U_m の値は円柱の移動速度の最大値、Tは周期を示す。

図-7は單振動の1周期について、 C_D の値を示したものである。振巾はそれほど大きくないが周期的に変動しており、平均的にはPotential理論によつて計算出来る値($C_D=1.0$)に大体等しい。

図-8は單振動の1周期について、各時刻($\Delta \omega t = 0.05\pi$)毎の C_D の値とその時の Re 数の関係を示したものである。図-8と波動による場合の図-4、或は図-3と比較すると傾向は大体一致する。以上のことから、 C_D の値に対する水面変動による影響はあまりないと考えられる。

6. 結論

以上、波動の中におかれ円柱の揚力について、主に質量係数、抗力係数の関係から、その特性と実験的に調べようとしたのであるが、実験資料も少ないとことなどのため、充分な結論に至らなかった。しかし、本実験の結果の範囲内だけに限るなら、質量係数は実用的には、Potential flowとしての計算値とある程度近似出来るようであり、また抗力係数は、波の特性(周期、波長、波高など)により、定常流の場合とは非常に異なった値になる。

この理由と主に水面変動の立場から考察したが、その影響はあまりみられず、むしろ円柱のまわりの流れと観察した結果により、定常流の場合と波動の場合のWakeの流体力学的相違に起因すると思われる。

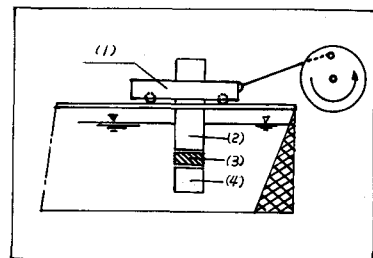


図-6. 説明図

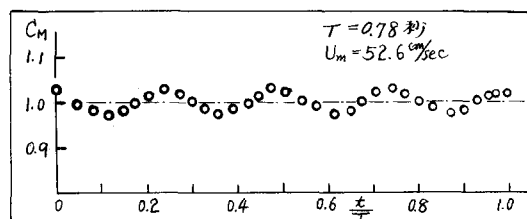


図-7. 單振動による円柱の C_D と $\frac{T}{\pi}$ の関係

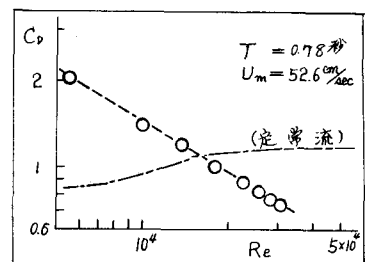


図-8. 單振動による円柱の C_D と Re の関係

参考文献

- 1) Ippen, A. T.; *Estuary and Coastline Hydrodynamics*; McGraw Hill Book Co New-York, 1966.
- 2) G. H. Keulegan and L. H. Carpenter; *Forces on cylinders and plates in an oscillating Fluid*: J. Res. National Bur standards, 60, 5 (May, 1958).